

## 第六章 交比与射影几何

### 6.1 线束的交比

**例题 6.1.** (线束的交比) 平面上四条给定直线  $\ell_0, \ell_1, \ell_2, \ell_3$  相交于一点, 直线  $\ell$  与这四条直线依次交于  $z_0, z_1, z_2, z_3$ 。证明

$$(z_0, z_1, z_2, z_3) = -\frac{\sin(\ell_0, \ell_1) \sin(\ell_2, \ell_3)}{\sin(\ell_1, \ell_2) \sin(\ell_3, \ell_0)},$$

此处  $(\ell_j, \ell_k)$  表示直线  $\ell_j, \ell_k$  的夹角。

上式表明, 交比  $(z_0, z_1, z_2, z_3)$  不依赖于直线  $\ell$  的位置, 只与四条直线  $\ell_0, \ell_1, \ell_2, \ell_3$  的位置有关, 因此, 该交比也被称为线束的交比。

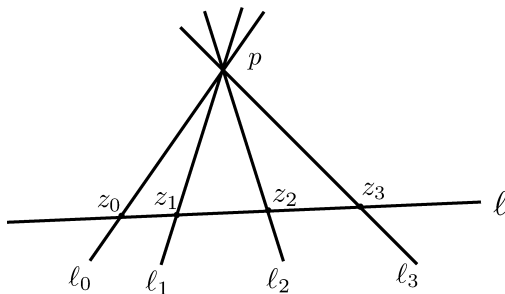


图 6.1: 线束的交比

**证明：**根据交比的几何意义，

$$\begin{aligned}
 (z_0, z_1, z_2, z_3) &= -\frac{|z_0 - z_1||z_2 - z_3|}{|z_1 - z_2||z_3 - z_0|} \\
 &= -\frac{\text{area}(\Delta pz_0z_1) \cdot \text{area}(\Delta pz_2z_3)}{\text{area}(\Delta pz_1z_2) \cdot \text{area}(\Delta pz_0z_3)} \\
 &= -\frac{|p - z_0||p - z_1|\sin(\ell_0, \ell_1) \cdot |p - z_2||p - z_3|\sin(\ell_2, \ell_3)}{|p - z_1||p - z_2|\sin(\ell_1, \ell_2) \cdot |p - z_3||p - z_0|\sin(\ell_3, \ell_0)} \\
 &= -\frac{\sin(\ell_0, \ell_1)\sin(\ell_2, \ell_3)}{\sin(\ell_1, \ell_2)\sin(\ell_3, \ell_0)}.
 \end{aligned}$$

## 6.2 蝴蝶定理

**定理 6.1.** (蝴蝶定理) 过圆内弦  $MN$  上一点  $P$  引出任意两条弦  $AC, BD$ , 弦  $AB, CD$  与弦  $MN$  的交点分别记为  $X, Y$ 。则线段长度成立等式

$$\frac{1}{XP} - \frac{1}{MP} = \frac{1}{YP} - \frac{1}{NP}.$$

特别地,  $P$  是  $MN$  的中点等价于  $P$  是  $XY$  的中点。

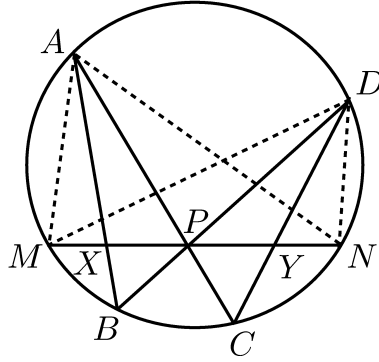


图 6.2: 蝴蝶定理

**证明：**在不致混淆时，我们用  $AB, XP, \dots$  既表示线段，也表示线段长度；用  $A, B, X, \dots$  既表示点，也表示相应的复坐标。利用交比定义及线束交比的性质，可得

$$\begin{aligned}
 (M, X, P, N) &= -\frac{MX \cdot PN}{XP \cdot MN} = -\frac{\sin(\angle MAX)\sin(\angle PAN)}{\sin(\angle XAP)\sin(\angle MAN)}. \\
 (M, P, Y, N) &= -\frac{MP \cdot YN}{PY \cdot MN} = -\frac{\sin(\angle MDP)\sin(\angle YDN)}{\sin(\angle PDY)\sin(\angle MDN)}.
 \end{aligned}$$

由同一圆弧对应的圆周角相等这一事实, 得  $\angle MAX = \angle MDP$ ,  $\angle PAN = \angle YDN$ ,  $\angle XAP = \angle PDY$ ,  $\angle MAN = \angle MDN$ 。因此

$$\frac{MX \cdot PN}{XP \cdot MN} = \frac{MP \cdot YN}{PY \cdot MN}.$$

此式等价于

$$\frac{MP - XP}{XP \cdot MP} = \frac{MX}{XP \cdot MP} = \frac{YN}{PY \cdot PN} = \frac{PN - PY}{PY \cdot PN}.$$

即为

$$\frac{1}{XP} - \frac{1}{MP} = \frac{1}{YP} - \frac{1}{NP}.$$

由此可见,  $XP = YP \iff MP = NP$ 。

### 6.3 Pappus 定理

**定理 6.2.** (Pappus, 360) 假设  $A, B, C$  在直线  $\ell$  上,  $A', B', C'$  在另一直线  $\ell'$  上, 记交点  $X = AB' \cap A'B$ ,  $Y = AC' \cap A'C$ ,  $Z = BC' \cap B'C$ , 则  $X, Y, Z$  三点共线。

**证明:** 假设  $XY$  延长线交  $\ell$  于  $W$ , 交  $B'C$  于  $Z'$ , 交  $BC'$  于  $Z''$ , 我们的目标是证明  $Z' = Z'' = Z$ 。记  $Q = A'C \cap AB'$ ,  $P = AC' \cap A'B$ 。由线束交比得

$$\begin{aligned} (W, X, Y, Z') &\stackrel{C}{=} (A, X, Q, B') \\ &\stackrel{A'}{=} (A, P, Y, C') \\ &\stackrel{B}{=} (W, X, Y, Z''). \end{aligned}$$

由此得  $Z' = Z''$ 。这说明  $Z', Z'', Z$  三点重合。 □

Pappus 定理的一个有趣应用:

**定理 6.3.** (交比等式) 假设  $A, B, C, D$  在直线  $\ell$  上,  $D, E, F, G$  在另一条直线  $\ell'$  上, 记交点  $X = AF \cap BE$ ,  $Y = BG \cap CF$ ,  $Z = CH \cap DG$ , 则  $X, Y, Z$  三点共线的充要条件是

$$(A, B, C, D) = (E, F, G, H).$$

**证明:** 由 Pappus 定理,  $AG, CE, XY$  三线共点, 记为  $P$ 。记  $XY$  所在直线交  $CG$  于  $Q$ , 交  $CH$  于  $Z'$ , 交  $DG$  于  $Z''$ 。于是

$$(A, B, C, D) \stackrel{G}{=} (P, Y, Q, Z''), (E, F, G, H) \stackrel{C}{=} (P, Y, Q, Z').$$

由此可见  $(A, B, C, D) = (E, F, G, H)$  的充要条件是  $Z' = Z''$ , 此时  $Z = Z' = Z''$ , 即  $X, Y, Z$  三点共线。

## 6.4 Desargues 定理

**定理 6.4.** (Desargues 1639) 假设  $AX, BY, CZ$  三线共点, 则三交点  $U = AB \cap XY, V = BC \cap YZ, W = CA \cap ZX$  共线。

**证明:** 记交点  $Q = WV \cap PM, N = XZ \cap PM, M = AC \cap PM$ , 则

$$\begin{aligned} (W, BC \cap WV, V, Q) &\stackrel{B}{=} (A, C, V, M) \\ &\stackrel{P}{=} (X, Z, V, N) \\ &\stackrel{Y}{=} (W, YZ \cap WV, V, Q). \end{aligned}$$

由此得  $BC \cap WV = YZ \cap WV$ 。这说明  $U = BC \cap YZ$  在线段  $WV$  上, 即  $U, V, W$  三点共线。

## 第七章 分式线性变换的应用

### 7.1 椭圆球台上的桌球运动

**问题 7.1.** 设想台球桌是椭圆形的, 一个台球从一个焦点出发, 遇到边界反弹. 假设摩擦力可忽略, 此反弹过程可持续下去, 试描述椭圆球轨迹的渐进性态。

**证明:** 先证一有趣事实: 台球从焦点出发反弹 (反弹规则: 入射线与切线夹角等于反射线与切线夹角) 后必经过另一个焦点。

假设椭圆离心率  $e$ , 焦点  $F_1, F_2$  分别对应  $-1, 1$  两点, 则椭圆长轴  $a = 1/e$ . 任取平面一点  $P$ , 熟知  $P$  在椭圆上 (外, 内) 当且仅当  $PF_1 + PF_2 = 2a$  ( $> 2a, < 2a$ ). 现取椭圆上一点  $P$ , 延长  $F_2P$  至  $A$ , 使  $PA = PF_1$ . 作角  $\angle F_1PA$  的平分线  $\ell$ . 下说明  $\ell$  为椭圆的切线 (切点为  $P$ ). 为此, 取  $\ell$  上异于  $P$  的点  $Q$ , 由对称性和三角不等式,

$$QF_1 + QF_2 = QF_2 + QA > PF_2 + PA = 2a.$$

这说明  $Q$  在椭圆外. 因此  $\ell$  为椭圆的切线。

先考虑台球轨迹: 从焦点  $F_1$  出发的台球达到  $P_1$  点反弹后经过  $F_2$ . 假设  $P_1$  点横坐标为  $x_1$ . 利用椭圆上任一点到左焦点 (右焦点) 距离与到左准线  $x = -a^2/c = -a^2$  (右准线  $x = a^2/c = a^2$ ) 距离之比是离心率  $e = c/a = 1/a$  这一事实, 可求出

$$P_1F_1 = 1/e + ex_1, P_1F_2 = 1/e - ex_1.$$

假设有向线段  $F_1P_1, P_1F_2$  与  $x$  轴正方向夹角分别为  $\theta_1, \theta_2$ . 做变换  $c_k = \cos \theta_k$  (想法的关键一步), 于是

$$c_1 = \frac{x_1 + 1}{1/e + ex_1}, c_2 = \frac{x_1 - 1}{1/e - ex_1}.$$

由此消去  $x_1$ , 得到  $c_2, c_1$  满足的关系

$$c_2 = \frac{c_1 - \kappa}{-\kappa c_1 + 1}, \quad \kappa = \frac{2e}{e^2 + 1}.$$

这说明  $c_2$  是  $c_1$  在分式线性变换  $f_1(z) = \frac{z-\kappa}{-\kappa z+1}$  下的像。

假设  $P_1F_2$  与椭圆交于  $P_2$  点, 其横坐标是  $x_2$ , 有向线段  $P_2F_1$  与  $x$  轴正方向的夹角是  $\theta_3$ , 记  $c_3 = \cos \theta_3$ 。类似可得

$$P_2F_1 = 1/e + ex_2, P_2F_2 = 1/e - ex_2.$$

$$c_2 = \frac{x_2 - 1}{1/e - ex_2}, \quad c_3 = -\frac{x_2 + 1}{1/e + ex_2}.$$

由此得

$$c_3 = -\frac{c_2 + \kappa}{\kappa c_2 + 1}, \quad \kappa = \frac{2e}{e^2 + 1}.$$

这说明  $c_3$  是  $c_2$  在分式线性变换  $f_2(z) = -\frac{z+\kappa}{\kappa z+1}$  下的像。

假设台球第  $n$  次反弹点是  $P_n$ , 其前进方向与  $x$  轴正方向夹角是  $\theta_n$ , 记  $c_n = \cos \theta_n$ 。连续两次经焦点  $F_1$  的角度余弦之间的关系为

$$c_{2n+1} = f_2 \circ f_1(c_{2n-1}) = \cdots = g^n(c_1),$$

$$g(z) = f_2 \circ f_1(z) = \frac{(1+\kappa^2)z - 2\kappa}{-2\kappa z + (1+\kappa^2)} = \frac{z - \sigma}{-\sigma z + 1}, \quad \sigma = \frac{2\kappa}{1+\kappa^2}.$$

可以验证  $g$  有两个不动点  $\pm 1$ , 且

$$g'(1) = \frac{1+\sigma}{1-\sigma}, \quad g'(-1) = \frac{1-\sigma}{1+\sigma}.$$

这说明  $-1$  是吸引不动点。因此只要  $c_1 \neq 1$ , 当  $n \rightarrow +\infty$  时, 有  $g^n(c_1) \rightarrow -1$ 。

总结: 如果  $\theta_1 \in (-\pi, 0)$ , 则  $\theta_{2n+1} \rightarrow -\pi$ ; 如果  $\theta_1 \in (0, \pi)$ , 则  $\theta_{2n+1} \rightarrow \pi$ 。由此知, 运动轨迹要么是长轴, 要么渐近于长轴。

## 7.2 Urquhart 定理

很难有定理如同 Urquhart 定理证明让人惊艳。Urquhart(1902-1966) 是一位澳大利亚的数学老师, 他发现的定理, 在 Tabachnikov 关于桌球运动的书中广为人知, 其证明是分式线性变换的巧妙应用。

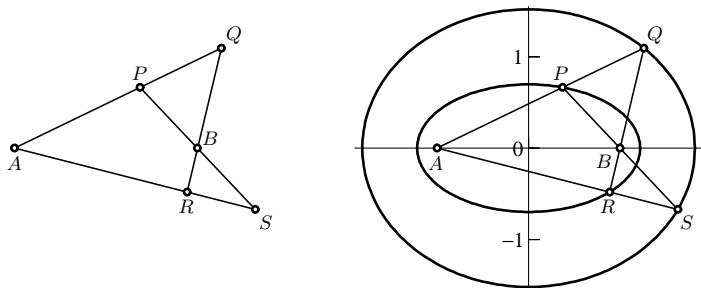


图 7.1: Urquhart 定理

**定理 7.1.** (Urquhart) 四条直线段交点  $A, B, P, Q, R, S$  如图所示, 则成立

$$AP + PB = BR + RA \iff AQ + QB = BS + SA.$$

**证明:** 假设两个等式都成立, 此时  $P, R$  与  $Q, S$  位于共焦点  $A, B$  的两个椭圆上。记小椭圆离心率为  $e_1$ , 大椭圆离心率为  $e_2$ 。我们将在  $APQ, QBR, PBS$  共线的前提下, 证明  $A, R, S$  共线。

为此, 考虑过焦点  $A$  的桌球两个轨迹:

$$A \mapsto P \mapsto B \mapsto S \mapsto A, \quad A \mapsto Q \mapsto B \mapsto R \mapsto A.$$

记有向线段  $S$  与  $x$  轴正方向夹角为  $\theta_S$ , 有向线段  $RA$  与  $x$  轴正方向夹角为  $\theta_R$ , 则利用椭圆桌球问题中的结论可知

$$\cos(\theta_S) = f_2 \circ f_1(\cos \theta_1), \quad \cos(\theta_R) = g_2 \circ g_1(\cos \theta_1),$$

其中  $f_1, f_2, g_1, g_2$  分别为分式线性变换

$$f_1(z) = \frac{\kappa_1 - z}{1 - \kappa_1 z}, \quad f_2(z) = -\frac{\kappa_2 + z}{1 + \kappa_2 z},$$

$$g_1(z) = \frac{\kappa_2 - z}{1 - \kappa_2 z}, \quad g_2(z) = -\frac{\kappa_1 + z}{1 + \kappa_1 z},$$

其中  $\kappa_j = \frac{2e_j}{e_j^2 + 1}$ 。容易验证

$$f_2 \circ f_1(z) = \frac{(1 + \kappa_1 \kappa_2)z - (\kappa_1 + \kappa_2)}{(\kappa_1 + \kappa_2)z + (1 + \kappa_1 \kappa_2)} = g_2 \circ g_1(z).$$

由此得  $\cos(\theta_S) = \cos(\theta_R)$ , 考虑到  $\theta_S, \theta_R$  要么同在  $(0, \pi)$ , 要么同在  $(-\pi, 0)$ , 因此有  $\theta_S = \theta_R$ 。